

**В. О. Миронкин, М. И. Урусов** (Москва, МИЭМ НИУ ВШЭ). **О коллизиях деревьев Меркла.**

В последнее время в научной литературе все чаще появляются публикации связанные с применением древовидных структур в различных криптографических приложениях, например, при построении алгоритмов хэширования [7, 9, 12], проверки цифровой подписи [8, 10] и передачи данных.

Наиболее ярким примером применения подобных моделей является широко используемая технология BlockChain [1, 5, 6] (рис. 1), на основе которой работают платежные системы Bitcoin и Litecoin. К BlockChain весьма активно проявляет интерес и банковский сектор, так, например, в 2016 году Bank of America и Microsoft заявили о начале разработки финансовой BlockChain-платформы. Как следствие становятся все более актуальными исследования, направленные на изучение и описание криптографических свойств древовидных моделей преобразования информации.

### A Representation of the Bitcoin Blockchain

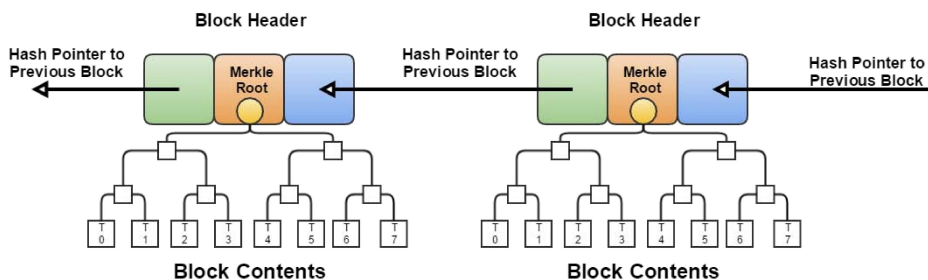


Рис. 1. Схема функционирования BlockChain

В настоящей работе рассматривается простейшая модель полного бинарного дерева, так называемого дерева Меркла [11], и исследуется вопрос, связанный с построением коллизий для соответствующей модели.

Используя терминологию [3, 4], введем ряд обозначений:

- $M$  — преобразуемое сообщение,  $M \in V^*$ ;
- $|M|$  — длина сообщения  $M \in V^*$ ;
- $m$  — размер узлов дерева Меркла в битах;
- $h : V_m \rightarrow V_t$  — внутренняя функция, преобразующая произвольный вектор  $x \in V_m$  в вектор  $h(x) \in V_t$ , где  $m > t$ ;
- $H : V^* \rightarrow V_t$  — функция сжатия, описывающая процесс преобразования сообщения  $M \in V^*$  с использованием дерева Меркла в вектор  $H(M) \in V_t$ .

Рассмотрим дерево Меркла высоты  $k \in \mathbb{N}$ , в котором на основе пар узлов каждого слоя с помощью внутренней функции  $h$  (функции сжатия или хэш-функции) формируются соответствующие узлы следующего слоя (рис. 2). В этом случае дерево Меркла преобразует векторы из  $V_{2^k m}$  в векторы из  $V_t$ .

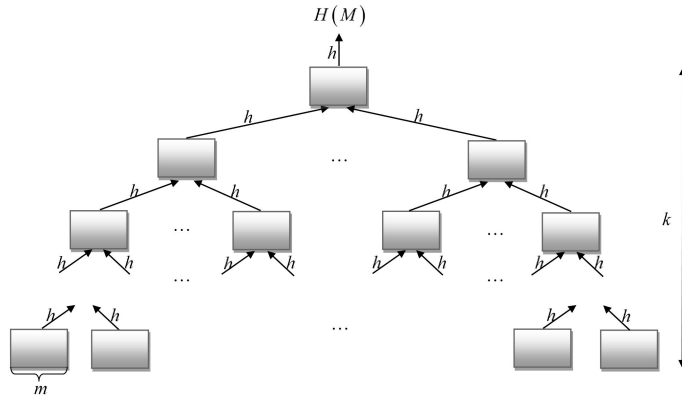


Рис. 2. Дерево Меркла высоты  $k$

**О п р е д е л е н и е.** Коллизией дерева Меркла, реализующего функцию сжатия  $H : V_{2^k m} \rightarrow V_t$ , называется произвольная пара сообщений  $M_1, M_2 \in V^* : M_1 \neq M_2$ , для которых выполняется равенство  $H(M_1) = H(M_2)$ .

В рамках рассматриваемой модели построение внутренних коллизий [2] (поиск совпавших значений узлов дерева в процессе его формирования) может повлечь за собой построение коллизий соответствующего дерева в целом. Действительно, при совпадении значений  $\alpha$  узлов дерева Меркла (рис. 3) может быть построена коллизия на основе поддеревьев с корнями в соответствующих узлах путем замены листьев меньшего из поддеревьев на соответствующий слой большего поддерева.

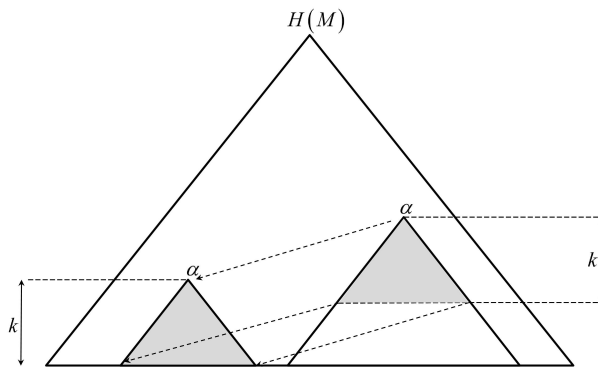


Рис. 3. Построение коллизии дерева Меркла с использованием внутренней коллизии

Следует заметить, что при совпадении значений узлов дерева Меркла коллизия формируется только в том случае, когда соответствующие поддеревья отличаются хотя бы в одном узле (отличие в узлах влечет за собой отличие в листьях, что и требуется для построения коллизии). В противном случае замена поддеревьев оставляет сообщение неизменным.

Через  $P_{tree}^{(k,m)}$  обозначим вероятность появления коллизий дерева Меркла высоты  $k$ , узлы которого имеют размер  $t$  бит.

**Предложение 1.** Пусть задано дерево Меркла высоты  $k$ . Тогда если  $k \geq m$ , то  $P_{tree}^{(k,m)} = 1$ . Если же  $k < m$ , то справедлива оценка

$$P_{tree}^{(k,m)} < 1 - \prod_{i=1}^k \prod_{j=0}^{2^{k-i+1}-1} \left( 1 - \frac{2^{k+1}(1-2^{-i})+j}{2^m} \right).$$

В таблице представлены приближенные значения оценок вероятности  $P_{tree}^{(k,m)}$ , полученные с использованием предложения 1.

**Таблица.** Верхние оценки вероятности  $P_{tree}^{(k,m)}$

$k \setminus m$	8	10	12	16
4	$7.57 \cdot 10^{-1}$	$2.89 \cdot 10^{-1}$	$8.11 \cdot 10^{-2}$	$5.26 \cdot 10^{-3}$
8	1	$1 - 2.41 \cdot 10^{-53}$	$1 - 1.27 \cdot 10^{-11}$	$7.76 \cdot 10^{-1}$
10	1	1	$1 - 2.33 \cdot 10^{-212}$	$1 - 2.91 \cdot 10^{-11}$
12	1	1	1	$1 - 4.05 \cdot 10^{-176}$
16	1	1	1	1

$k \setminus m$	24	32	64
4	$2.06 \cdot 10^{-5}$	$8.04 \cdot 10^{-8}$	$1.88 \cdot 10^{-17}$
8	$5.81 \cdot 10^{-3}$	$2.28 \cdot 10^{-5}$	$5.30 \cdot 10^{-15}$
10	$8.94 \cdot 10^{-2}$	$3.66 \cdot 10^{-4}$	$8.52 \cdot 10^{-14}$
12	$7.77 \cdot 10^{-1}$	$5.84 \cdot 10^{-3}$	$1.37 \cdot 10^{-12}$
16	$1.5.32 \cdot 10^{-168}$	$7.77 \cdot 10^{-1}$	$3.50 \cdot 10^{-10}$

Так, например, на рисунке 4 представлена зависимость соответствующей оценки вероятности  $P_{tree}^{(k,m)}$  от величины  $m$  при  $k = 8$  и  $k = 10$ .

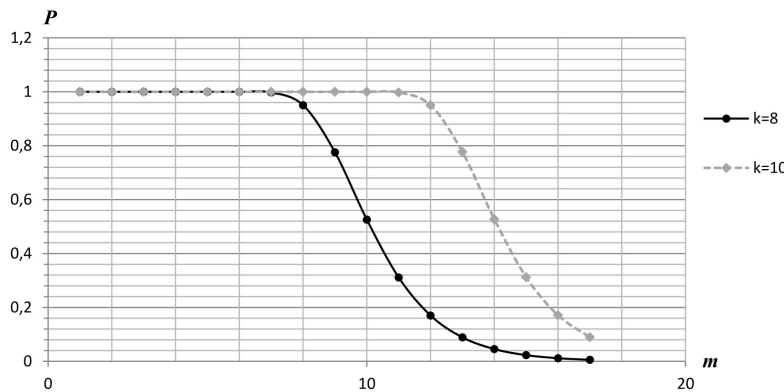


Рис. 4. Дерево Меркла высоты  $k$

С учетом неравенства  $1 - x \leq e^{-x}$ , справедливого при  $0 \leq x \leq 1$ , имеет место следующий результат.

**Следствие.** В условия предложения 1 при  $k < m$  выполняется неравенство

$$P_{tree}^{(k,m)} < 1 - \left( 1 - \frac{2^{k+1}-1}{2^m} \right)^{2^k k}.$$

Если при этом  $k < 2^{m-2k-1}$ , то

$$P_{tree}^{(k,m)} < \frac{k}{2^{m-2k-1}}.$$

Таким образом, построение коллизий дерева Меркла, основанное на поиске внутренних коллизий, фактически сводится к решению классической задачи парадокса «дней рождений» и дает в среднем корневую оценку трудоемкости —  $2^{\frac{m}{2}}$  операций вычисления внутренней функции  $h$ , что в свою очередь соответствует деревьям Меркла, построенным на сообщениях со средней длиной  $\mathbf{E}|M| \geq 2^{\frac{m-2}{2}} m$  бит. В этом случае для используемых на практике значений  $m$  порядка 1024 бит  $\mathbf{E}|M| \geq 2^{521}$  бит, что позволяет сделать вывод о неэффективности соответствующего метода построения коллизий деревьев Меркла.

## СПИСОК ЛИТЕРАТУРЫ

1. Брито Д., Дурадо Э. Криптовалюты. Mercatus Center, George Mason University. 2014.
2. Дали Ф. А., Миронкин В. О. О вероятностных характеристиках одного класса моделей древовидного хэширования. — Обозрение прикл. и промышл. матем., 2016, т. 23, в. 4, с. 345–347.
3. Дали Ф. А., Миронкин В. О. О некоторых моделях древовидного хэширования. — Обозрение прикл. и промышл. матем., 2017, т. 24, в. 4, с. 241–244.
4. Дали Ф. А., Миронкин В. О. Обзор подходов к построению древовидных режимов работы некоторых хэш-функций. — Проблемы информационной безопасности. Компьютерные системы. СПб.: СПбПУ, 2017, № 2, с. 46–55.
5. Решевский М. Золотая лихорадка 21 век. — ComputerBild, 2011, № 17, с. 64–69.
6. Atmouss S. The Bitcoin Standard: The Decentralized Alternative to Central Banking. New York: John Wiley and Sons Inc, 2018, p. 304.
7. Bertoni G., Daemen J., Peeters M., Van Assche G. Sufficient conditions for sound tree hashing modes, Symmetric Cryptography (Dagstuhl, Germany) (Handschuh H., Lucks S., Preneel B., Rogaway P., eds.), Dagstuhl Seminar Proceedings, № 09031, Schloss Dagstuhl Leibniz-Zentrum fuer Informatik, Germany, 2009.
8. Buchmann J. CMSS – an improved Merkle signature scheme. — International Conference on Cryptology in India. Springer Berlin Heidelberg, 2006, p. 349–363.
9. Damgard I. A design principle for hash function. — Advances in Cryptology – Crypto '89 (G. Brassard, ed.), LNCS, № 435, Springer-Verlag, 1989, p. 416–427.
10. Garcia LC.-C. On the security and the efficiency of Merkle signature scheme, Technical Report 2005/192. — Cryptology ePrint Archive, 2005.
11. Merkle R. C. Secrecy, authentication, and public key systems, PhD thesis, UMI Research Press, 1982.
12. Sarkar P., Schellenberg P. J. A parallelizable design principle for cryptographic hash functions, Cryptology ePrint Archive, Report 2002/031, 2002, <http://eprint.iacr.org>.